

В.М. Климкин, С.Ф. Лукьяненко, И.Н. Потапкин, В.Н. Федорищев

ИССЛЕДОВАНИЕ ФУНКЦИИ ВОЗБУЖДЕНИЯ ФЛУОРЕСЦЕНЦИИ ПАРОВ H_2O

В области 270–330 нм с помощью перестраиваемого лазера с шириной линии излучения 0,3–0,03 Å исследовано с высоким спектральным разрешением длинноволновое крыло функции возбуждения флуоресценции H_2O .

До настоящего времени флуоресценция паров H_2O наблюдалась в структуре высоковозбужденных электронных состояний молекулы H_2O ($E > 80000 \text{ см}^{-1}$) при двухбайтовом возбуждении воды излучением KrF*-лазера [1], при химическом взаимодействии H_2 и O_2 [2] и при возбуждении коротковолновым излучением с $\lambda \leq 120$ нм [3]. Однако в лидарных экспериментах с KrF*-лазером в открытой атмосфере авторы [4] обнаружили широкую ($\Delta\lambda = 280\text{--}400$ нм) полосу флуоресценции H_2O , возбуждаемую в однофотонном процессе поглощения [5]. Затем [6] было установлено, что флуоресценции в области 280–400 нм соответствует широкая полоса поглощения H_2O в районе $\lambda < 320$ нм. Данная полоса поглощения H_2O наряду с полосами поглощения озона может играть определенную роль в защите земной поверхности от солнечной УФ радиации.

В настоящей работе с помощью узкополосного перестраиваемого лазера детально исследовано длинноволновое крыло обнаруженной в [3–6] УФ полосы поглощения H_2O .

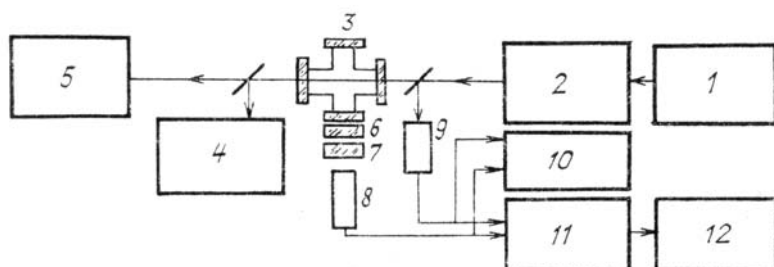


Рис. 1. Схема экспериментальной установки

Схема экспериментальной установки приведена на рис. 1. Удвоенное по частоте излучение лазера на красителе 2, накачиваемого 2-й гармоникой АИГ-лазера 1, направлялось в вакуумируемую кювету 3 и далее на измерители средней мощности ИМО-2Н 4 и длины волны 5.

В качестве последнего использовался малогабаритный дифракционный монохроматор МУМ с фотоэлектронным регистратором, шкала длины волн которого была предварительно привязана к линиям излучения ртутной лампы. При ширинах входной и выходной щелей 0,05 мм абсолютная погрешность определения длины волны излучения лазера не превышала 0,2 нм. Лазер работал с частотой повторения 12,5 Гц и энергией в импульсе 10–50 мкДж в диапазоне 270–330 нм. Ширина линии излучения $\delta\lambda$ составляла при этом 0,03 или 0,003 нм.

Излучение, рассеянное в кювете, регистрировалось через диафрагму 6 и фильтры 7 фотоэлектронным умножителем 8. Обрезные жидкостные фильтры 7 поглощали рассеянное на окнах и стенах кюветы излучение второй гармоники лазера, при этом спектральный диапазон регистрации ФЭУ ($\lambda > 340$ нм) захватывал длинноволновый участок полосы флуоресценции H_2O . Импульсы флуоресценции наблюдались на осциллографе 10, выделялись стробоскопическим пиковым вольтметром 11 (ширина строба ~4 нс) и записывались на самописце 12. В наших экспериментах фоновый сигнал, обусловленный флуоресценцией окон и стенок кюветы, был сравним с сигналом флуоресценции паров воды. Поэтому на всем исследованном участке длинноволнового крыла поглощения H_2O (270–330 нм) для каждой длины волны лазера измерялся разностный сигнал флуоресценции кюветы с парами воды и вакуумированной кюветы. Типичный вид записей сигналов флуоресценции приведен на рис. 2.

На рис. 3 представлены полученный в ходе экспериментов вид длинноволнового крыла полосы поглощения H_2O , записанного с разрешением 0,03 нм, и его участков, записанных с более высоким разрешением 0,003 нм. Как видно, интенсивность полосы максимальна при $\lambda_{\max} \sim 270$ нм и плавно спадает в сторону больших длин волн. Предельная длина волны лазера, при которой был выделен сигнал флуоресценции H_2O из помех, обусловленных фоновой флуоресценцией, составляла $\lambda_{\min} = 323$ нм. Согласно работе [6] при $\lambda_{\max} = 270$ нм сечение рассеяния H_2O σ_{ϕ} составляет $\sim 10^{-23} \text{ см}^2$.

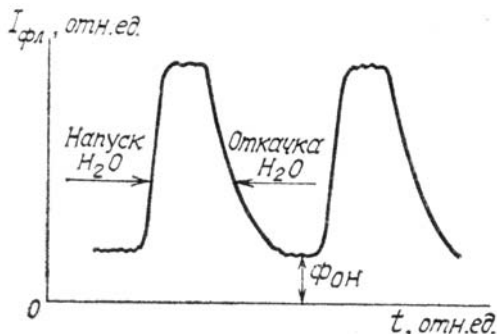


Рис. 2. Фрагмент записи сигналов флуоресценции H_2O

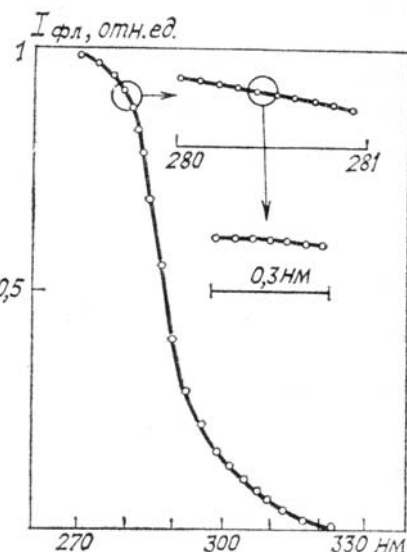


Рис. 3. Длинноволновое крыло полосы поглощения и ее участки, записанные с разрешением 0,03 и 0,003 нм

С разрешением 0,003 нм записывались отдельные участки спектра шириной 0,3 Å, соответствующей области дисперсии интерферометра, установленного в резонатор лазера на красителе. Фрагмент такого спектра также приведен на рис. 3. Ни на записях всего крыла полосы поглощения H_2O с разрешением 0,03 нм, ни на ее участках, записанных с разрешением 0,003 нм, тонкой структуры, указывающей на линейчатую природу спектра, не выявлено.

Из выполненных экспериментов следует, что полоса поглощения H_2O носит континуальный характер и соответствует поглощению на электронном переходе из связанного в разлетное состояние, либо в состояние, потенциальная кривая которого сильно сдвинута в сторону больших межъядерных расстояний.

1. Meijeu G., Menlen J.J., Andresen, Bath A. //J. Chem. Phys. 1986. V. 12. P. 1614.
2. Blake J.A., Burns G.J. //J. Chem. Phys. 1971. V. 54. P. 1480.
3. Lee L.C., Suto M. //J. Chem. Phys. 1986. V. 110. P. 161–169.
4. Климкин В.М., Федорищев В.Н. //Оптика атмосферы. 1988. Т. 1. № 7. С. 26–30.
5. Климкин В.М., Федорищев В.Н. //Оптика атмосферы. 1988. Т. 1. № 8. С. 72–76.
6. Климкин В.М., Федорищев В.Н. //Оптика атмосферы. 1989. Т. 2. № 1. С. 220–221.

Институт оптики атмосферы
СО АН СССР, Томск

Поступило в редакцию
26 декабря 1988 г.

V. M. Klimkin, S. F. Luckjanenko, I. I. Potapkin, V. N. Fedorischev. **Study of Water Vapor Excitation Function.**

Longwave wing of water vapor excitation function in the range 270 to 330 nm with high spectral resolution was studied using a tunable laser with linewidth 0,3–0,03 Å.